

تفسیر دو بعدی داده های VLF هوابرد

بهروز اسکوئی^۱، احمد علی بهروزمند^۱

^۱ مؤسسه ژئوفیزیک، دانشگاه تهران، ایران (e-mail: abehrouz@ut.ac.ir)

(دریافت: ۸۵/۰۵/۲۳، پذیرش نهایی: ۸۶/۰۳/۱۶)

چکیده

داده های VLF اثرات دو بعدی قابل ملاحظه را نشان می دهند. وارون سازی دو بعدی مزایای متعددی را هنگامی که روی داده های پروفیل های VLF اعمال می شوند، بیان می کند. نخست آن که برآورده کمی از هدایت ویژه های سنگ کف به دور از رساناها فراهم می کند. دوم این که، ارتباط بین قسمت های حقیقی و مجازی بردار تپیر، اطلاعاتی را در مورد عمق رساناها فراهم می کند. در این مقاله، یک مدل مصنوعی از یک هم بری عمودی و یک پروفیل داده های VLF هوابرد مورد بحث قرار گرفته است.

کلیدواژه ها: وارون سازی دو بعدی، تپیر، هدایت ویژه.

۱ مقدمه

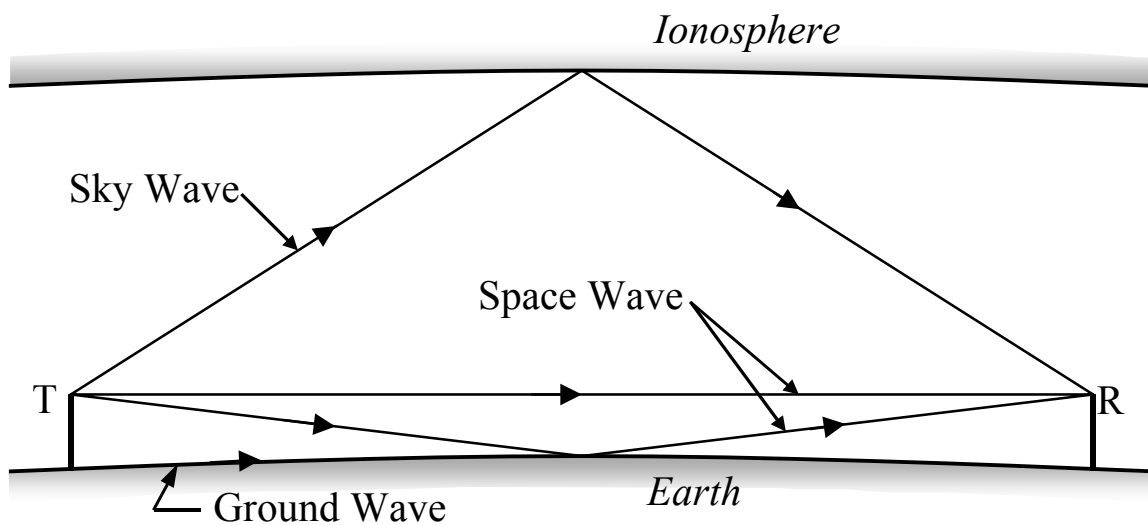
منبع اندازه گیری های VLF فرستنده های ثابت VLF مورد استفاده ارتباطات اند. فرستنده های VLF به طور نرمال به صورت دوقطبی های الکتریکی عمودی با قدرت ارسال از مرتبه ۱ مگاوات عمل می کنند. سیگنال های رادیویی، هم به صورت امواج زمینی و هم به صورت امواج بازتابی در درون موج بر ساخته شده با سطح جامد زمین و یونسپهر (یونسفر) ارسال می شوند (شکل ۱).

۲ داده های VLF

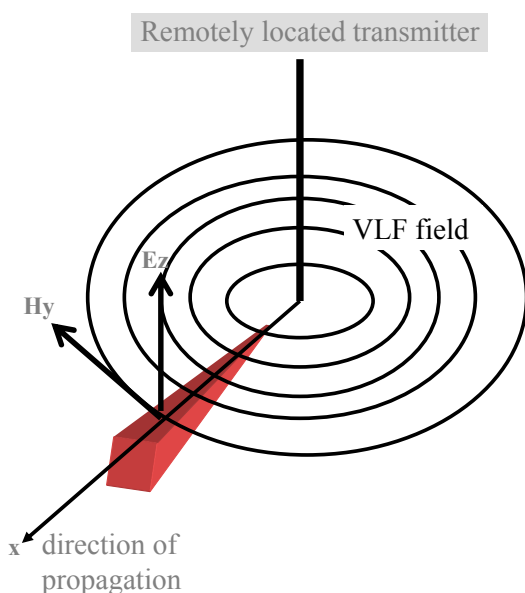
بررسی های VLF ابزاری سریع و قوی برای مطالعه ساختارهای زمین شناسی تا بیشینه عمق حدود ۱۰۰ متر است (فیشر و همکاران، ۱۹۸۳). در طول دهه اخیر مؤلفان بسیاری مفید بودن مدل سازی کمی داده های VLF را ابراز کرده اند، که از میان آنها می توان گورین و همکاران (۱۹۹۴)، بمیش (۱۹۹۸، ۱۹۹۸)، کایکونن و شارما (۱۹۹۸)، شارما و کایکونن (۱۹۹۸) و پرسن (۲۰۰۱) را نام برد.

روش VLF (باند بسامد بسیار کوتاه، ۱۴-۳۰ کیلوهرتز)، ابزار تهیه نقشه مقدماتی برای ساختارهای نزدیک سطح است. مطالعات ژئوفیزیکی با استفاده از سیگنال های رادیویی VLF در دهه ۱۹۶۰ در حکم ابزاری برای کاوش مواد رسانا آغاز شد (پال، ۱۹۶۵). کاربردهای زمین شناختی و آب شناختی روش های VLF را مکنیل و لابسون (۱۹۹۱) مورد بازنگری کلی قرار دادند.

روش های VLF براساس پارامترهای اندازه گیری شونده به دو مقوله تقسیم می شوند: در مقوله اول (VLF-Z یا VLF-EM) که مورد توجه این بررسی است، فقط مؤلفه های میدان مغناطیسی را که به صورت بیضوی قطبیده شده اند اندازه گیری می کنند. برای راحتی کار، در اینجا آنرا VLF می نامیم. در مقوله دوم (VLF-R) یک مؤلفه الکتریکی و یک مؤلفه مغناطیسی افقی از میدان VLF (عموماً، با مؤلفه الکتریکی عمود بر پروفیل و به موازات امتداد یک ساختار دو بعدی مفروض) اندازه گیری می شوند.



شکل ۱. انتشار سیگنال‌های رادیویی به صورت امواج زمینی و بازتابی با موج بر زمین - یون‌سپهر.



شکل ۲. میدان تخت ناشی از فرستنده VLF دوردست.

قسمت‌های حقیقی و مجازی است، زیرا در یک بسامد مشخص، میدانهای افقی و عمودی به طور نرمال به واسطه فرایند القای الکترومغناطیسی درون زمین، تاخیر زمانی دارند. میدان مغناطیسی افقی ترکیبی از میدان اولیه و میدان ثانویه (ناشی از القاء) است، در حالی که میدان مغناطیسی قائم کاملاً منشأ ثانویه دارد.

در فواصل به اندازه کافی دور از فرستنده‌های VLF که میدان اولیه را می‌توان به صورت موج تخت در نظر گرفت (شکل ۲)، مؤلفه‌های میدان مغناطیسی افقی و عمودی (H_z , H_y و H_x) با رابطه‌ای خطی به صورت زیر مرتبط می‌شوند:

$$H_z = AH_x + BH_y \quad (1)$$

که تپر مختلط (B و A) فقط بستگی به ساختار زمین دارد و مستقل از مسیر فرستنده است (پدرسن و همکاران، ۱۹۹۴). در عمل ابزارهای VLF تجاری تنها مؤلفه قائم و یک مؤلفه افقی میدان مغناطیسی را اندازه‌گیری می‌کنند. جهت X را به مثابه جهت راستای ساختار زمین شناسی و ترجیحاً در امتداد فاصله تا فرستنده VLF مورد استفاده در نظر می‌گیریم. محور Z مسیر پروفیل است. برای هر سایت، تابع تبدیل، که تپر اسکالر، B_{sca} ، خوانده می‌شود، به صورت زیر برآورد می‌شود:

$$H_z = B_{\text{sca}} H_y \quad (2)$$

فقط زمانی که $A=0$ باشد، تپر B مساوی با B_{sca} است. برای یک زمین دوبعدی (2D) تپر در طول پروفیل تغییر می‌کند به طوری که قوی‌ترین گرادیان‌ها را در تابعهای هدایت ویژه نشان می‌دهد. تپر یک کمیت مختلط با

فرایندهای وارونسازی و مدل سازی نسبتاً ارزان که در اصل برای وارونسازی داده های مگنتوتلوریک (MT) استاندارد همانظور که در مقاله های اسکوئی و پدرسن (۲۰۰۱ و ۲۰۰۴) نشان داده شده است، حتی روی داده های هوابرد با چگالی زیاد مورد استفاده قرار می گیرند. با استفاده از داده های مصنوعی از ساختارهای دو بعدی و سه بعدی، مسئله قدرت تشخیص داده های VLF را نیز، پدرسن و اسکوئی (۲۰۰۴) و اسکوئی و پدرسن (۲۰۰۴ و ۲۰۰۶) مورد بررسی قرار داده اند.

در این مقاله، برای وارونسازی دو بعدی تیپر که از داده های VLF محاسبه شده است، رهیافت سیریپون واراپورن و ایگبرت (۲۰۰۰) استفاده شده است.

۴ وارونسازی دو بعدی داده های تیپر

فقط تعداد اندکی برنامه برای وارونسازی داده های تیپر، بدون در نظر گرفتن اندازه گیری های میدان الکتریکی وجود دارد. رهیافت وارونسازی دو بعدی اکام (Occam) از دیگروت - هدلین و کانستبل (۱۹۹۰) قادر به برگرداندن داده های تیپر است. این رهیافت بسیار خوب کار می کند و در رسیدن به مدل هموار با بهترین برازش، پایدار است. اما با درنظر گرفتن مقدار زیاد داده مورد نیاز در مطالعات هوابرد، بسیار وقت گیر است. وارونسازی دو بعدی سیریپان واراپورن و ایگبرت (۲۰۰۰) که در اصل برای مطالعات مگنتوتلوریک (MT) عمیق طراحی شده است، ابزاری بسیار قوی برای مدل سازی کمی داده های VLF و TVLF فراهم می آورد.

۵ نتایج

مدلی مصنوعی به صورت یک همبry قائم (۴۰۰ اهم متر / ۱۰۰۰۰ اهم متر) که برای آزمایش قدرت تفکیک رهیافت وارونسازی دو بعدی سیریپان واراپورن و ایگبرت

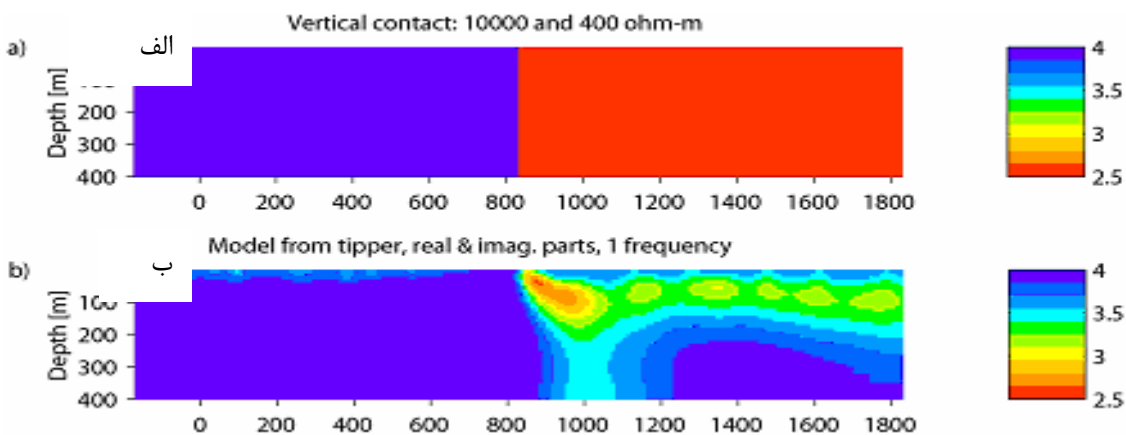
۳ تفسیر داده های VLF هوابرد

تفسیر کیفی داده های هوابرد توسط پدرسن و اسکوئی (۲۰۰۴) از طریق نمایش تفاوت بین نقشه های VLF نشان داده شده است. به همین استاندارد و تانسور VLF نشان داده شده است. به همین منظور کمیتی ناوردا از تیپر، که پیکر (peaker) خوانده می شود، به کار می رود. پیکر را پدرسن و همکاران (۱۹۹۴) به صورت دیورژانس افقی بردار تیپر تعریف می کنند:

$$p = \frac{\partial A}{\partial x} + \frac{\partial B}{\partial y} = \nabla_h \cdot (A, B) \quad (3)$$

که به ویژه برای اهداف به نقشه در آوردن (mapping) مفید است، چون روی رسانا مقدار بیشینه دارد و تقریباً متناسب با میدان مغناطیسی عمودی از یک منبع به طور عمودی قطبیده است، با فرض اینکه هدایت ویژه الکتریکی همان جسم متناسب با مغناطیس شوندگی اش باشد.

تفسیر کمی و مدل سازی داده های VLF را بمیش (۱۹۹۴) عملی ساخته است. او روشن ساخت که وارونسازی دو بعدی منظم داده های VLF تک بسامد می تواند اطلاعات جامعی درباره ساختار هدایت ویژه الکتریکی زیر سطحی به دست دهد. به تازگی گروه های بیشتری با داده های VLF کار کرده اند. از این میان تبق و همکاران (۱۹۹۱)، چوتیو و همکاران (۱۹۹۶) و کایکون و شارما (۲۰۰۱) روی تفسیر کمی داده های VLF تأکید ورزیده اند. تفسیر بمیش (۲۰۰۰) از داده های VLF تک دو بعدی نشان می دهد که هنگامی که داده های VLF تک بسامد با یک چگالی جانبی زیاد جمع آوری می شوند، می توان اندازه گیری ها را برای شناخت اجزای اصلی توزیع مقاومت ویژه زیر سطحی به کار برد. پرسن (۲۰۰۱) مدل سازی مصنوعی و وارونسازی داده های VLF تک و چند بسامدی را برای ساختارهای دو بعدی ساده عملی ساخته است.

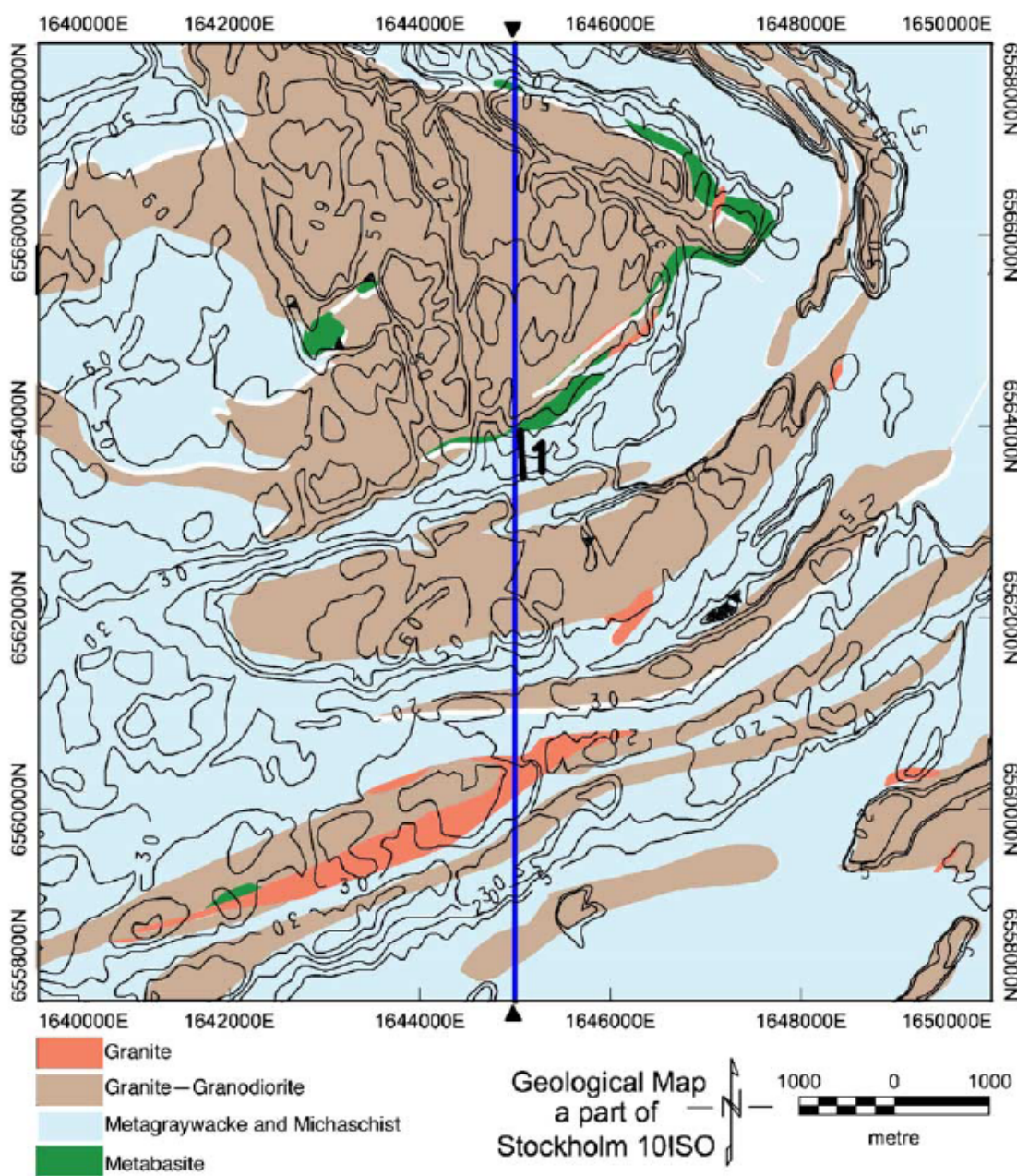


شکل ۳. تأثیر به کارگیری هر دو بخش حقیقی و مجازی تپیر و نتایج حاصل از وارونسازی دوبعدی داده‌ها از یک همبry قائم (۴۰۰ اهمتر / ۱۰۰۰ اهمتر). (الف) مدل همبry عمودی (ب) مدل ناشی از وارونسازی قسمت‌های حقیقی و مجازی تپیر در بسامد ۱۶ کیلوهرتز.

متر برداشت شده‌اند. خط پرواز به طول ۱۰ کیلومتر در مسیر N-S بوده که به خوبی با راستای ساختارهای عمده زمین‌شناسی ناحیه سازگار است (یعنی تقریباً عمود بر راستای N60°E ساختارها است). داده‌ها و نتایج حاصل از وارونسازی آنها در شکل (۵) نشان داده شده‌اند. برای مقایسه، بخشی از نقشه زمین‌شناسی در امتداد پروفیل در شکل (۵) (لف) آمده است. قسمت‌های حقیقی و مجازی تپیر اسکالار و پاسخ‌های مدل در شکل (۵) (ب) نشان داده شده‌اند و در نهایت، مقطع مقاومت ویژه-عمق حاصل از وارونسازی دوبعدی در شکل (۵) (ج) آمده است. همانطور که مشاهده می‌شود توافق خوبی بین داده‌های اندازه‌گیری شده و پاسخ‌های مدل وجود دارد. با توجه به شکل، دو رسانای عمده در فواصل ۴۰۰۰-۳۰۰۰ کیلومتر و ۵۰۰۰-۶۰۰۰ کیلومتر روی پروفیل مشاهده می‌شود که هر دو آنها با موقعیت دگرگونی‌های رسوبی موجود در منطقه سازگارند.

با یک سطح خطای (Error floor) ۰/۰۲ روی قسمت‌های حقیقی و مجازی تپیر، میانگین برآش داده‌ها به روش جذر میانگین مربعی (RMS) حدود ۱/۵ است.

(۲۰۰۰) تهیه شده، در شکل (۳) نشان داده شده است. از یک تک بسامد ۱۶ کیلوهرتزی برای ایجاد داده‌های مصنوعی استفاده شده است. تأثیر به کارگیری هر دو بخش حقیقی و مجازی تپیر و نتایج حاصل از وارونسازی دوبعدی داده‌ها در شکل (۳) (ب) نشان داده شده است. داده‌های VLF تک بسامد می‌توانند رساناهای را به طور جانبی و همچنین در عمق به خوبی تشخیص دهند. مطالعات VLF هواپرد با استفاده از سیگنال‌های تک بسامد از فرستنده‌های VLF دوردست، فن‌های سریعی برای تهیه نقشه‌های مقاومت ویژه زیرسطحی به ویژه در کشورهایی نظیر سوئد و کانادا هستند که رسوبات پوشاننده سطحی نازکی دارند. به منظور نشان دادن توانایی روش VLF تک بسامد در تهیه اطلاعات کمی مقاومت ویژه زیرسطحی، نتایج وارونسازی دوبعدی داده‌های VLF هواپرد در طول یک پروفیل در منطقه استکلهلم شکل (۴) با ارتفاع پرواز ۷۰ متر و بسامد ۱۶ کیلوهرتز در شکل (۵) نشان داده شده است. با استفاده از سیگنال‌های فرستنده راگبی (Rugby) واقع در انگلستان، داده‌های VLF، در طول خط پرواز با فاصله نمونه‌برداری حدود ۱۷

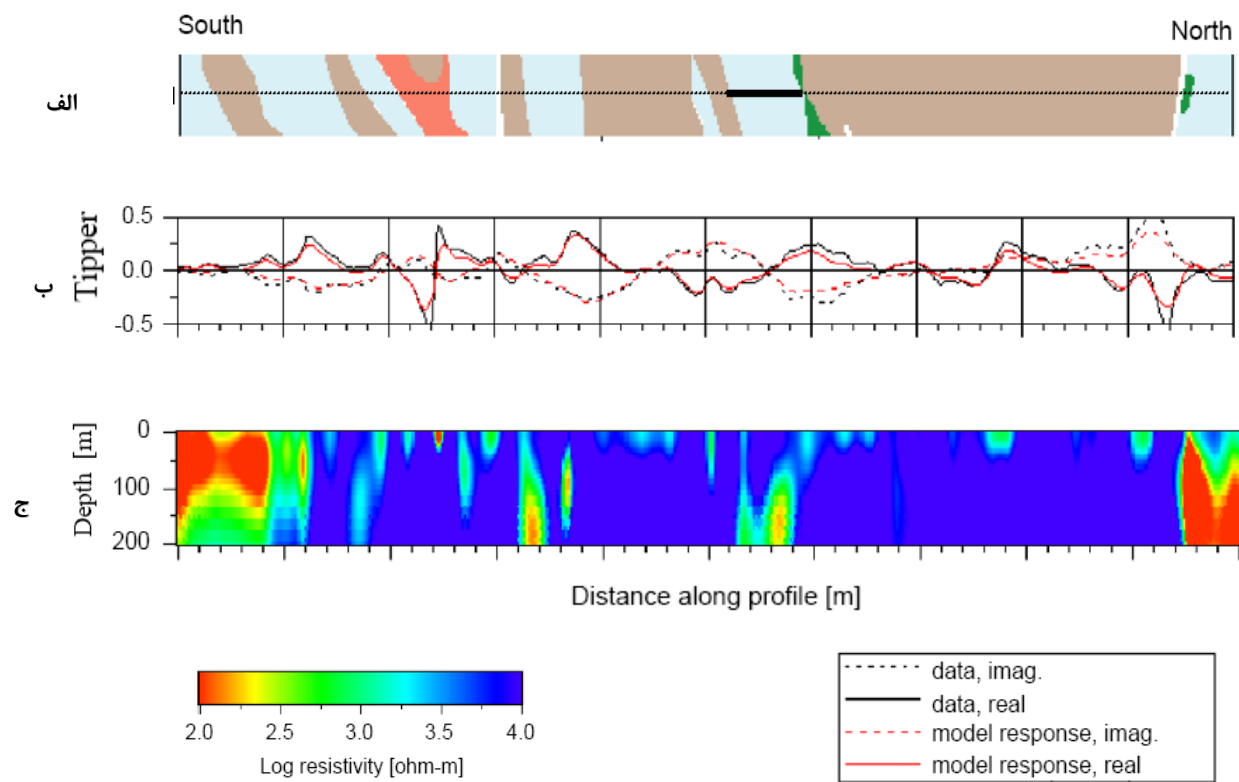


شکل ۴. نقشه زمین شناسی ناحیه موردمطالعه واقع در منطقه استکهلم بهمراه پریندهای توپوگرافی خط شمالی-جنوبی آبرنگ معرف موقعیت پروفیل برداشت داده های VLF هوابرد می باشد.

مجازی تپیر، مدل های با قدرت تفکیک جانبی عالی و حتی با قدرت تفکیک عمق بیشتر را، هنگام نفوذ امواج الکترومغناطیسی تحت به رساناهای بالاتر، فراهم می کند. تفسیر آنومالی های VLF روی یک ساختار شامل واحد های رسانا در یک زمینه مقاوم، می تواند با استفاده از

۶ نتیجه گیری و بحث

وارون سازی دوبعدی منظم روی داده های صحرابی و مصنوعی، برای بررسی مدل های گرفته شده از روش VLF استاندارد صورت گرفته است. در همین راستا نتیجه گیری می شود که وارون سازی همزمان قسمت های حقیقی و



شکل ۵. وارونسازی دوبعدی داده‌های صحرایی تپیر. (الف) برشی از نقشه زمین‌شناسی ناحیه استکلهم در طول پروفیل. رنگ آبی نشانگر رسوب‌های دگرگونی رسانا و رنگ قهوه‌ای نشانگر گرانیت‌های مقاوم است. (ب) برآذش داده‌ها (data fit)، داده‌های هوابرد تهیه شده است. (ج) مدل دوبعدی به دست آمده در آخرین تکرار.

- from VLF-EM data using linear filtering. *Geophys. Prosp.*, **44**, 215- 232.
- De Groot- Hedlin, C. and Constable, S., 1990, Occam's inversion to generate smooth, two-dimensional models from magnetotelluric data. *Geophysics*, **55**, 1613-1624.
- Fischer, G., Le Quang, B. V. and Muller, I., 1983, VLF ground surveys, a powerful tool for the study of shallow two-dimensional structures: *Geophysical Prospecting* **31**, 977- 991.
- Guérin, R., Tabbagh, A. and Anderieux, P., 1994, Field and/or resistivity mapping in MT-VLF and implications for data processing. *Geophysics*, **59**, 1695- 1712.
- Kaikkonen, P. and Sharma, S. P., 1998, 2D nonlinear joint inversion of VLF and VLF-R data using simulated annealing. *J. Appl. Geophys.*, **39**, 155- 176.
- Kaikkonen, P. and Sharma, S. P., 2001, 'A comparison of performances of linearized and global nonlinear 2- D inversions of VLF and VLF- R electromagnetic data', *Geophysics* **66**, 462- 475.

دیگر روش‌ها نظری DC ژئوکتریک و اندازه‌گیری‌های رادیومغناطیسی در طول بعضی از پروفیل‌ها آزمایش و تکمیل شود. بنابراین به راحتی می‌توان به نتایج حاصل از بررسی VLF بزرگ‌مقیاس، برای به نقشه درآوردن مقاومت ویژه الکتریکی و به ویژه تغییرات آن در چند ده متر بالای پوشش رسوبی اتکا کرد.

منابع

- Beamish, D., 1994, Two-dimensional, regularized inversion of VLF data. *J. Appl. Geophys.*, **32**, 357- 374.
- Beamish, D., 1998, Three- dimensional modeling of VLF data. *J. Appl. Geophys.*, **39**, 63- 76.
- Beamish, D., 2000, Quantitative 2D VLF data interpretation. *J. Appl. Geophys.*, **45**, 33- 47.
- Chouteau, M., Zhang, P. and Chapellier, D., 1996, Computation of apparent resistivity profiles

- McNeill, J. D. and Labson, V. F., 1991, Geological mapping using VLF radio fields. In: Nabighian M. N. (ED.), Electromagnetic methods in applied geophysics, part B: Application. SEG, Tulsa, 521- 640.
- Oskooi, B. and Pedersen L. B., 2001, Processing and Interpretation of tensor VLF Data. A report to the Geological Survey of Sweden.
- Oskooi, B. and Pedersen, L. B., 2004, Comparison between VLF and RMT methods. A combined tool for mapping conductivity changes in the sedimentary cover. *J. Appl. Geophys.* **57**, 227- 241.
- Oskooi, B. and Pedersen, L. B., 2006, Resolution of airborne VLF data. *J. Appl. Geophys.*, in press.
- Paal, G., 1965, Ore prospecting based on VLF-radio signals: *Geoexploration* **3**, 139- 147.
- Pedersen, L. B., 1998, Tensor VLF measurements: Our first experiences. *Expl. Geophys.*, **29**, 52-57.
- Persson, L., 2001, Plane wave electromagnetic measurements for imaging fracture zones. Ph. D. thesis, Uppsala University, Uppsala Dissertations from the Faculty of Science and Technology 30. ISBN 91-554-5028-8.
- Pedersen, L. B., Qian, W., Dynesius, L. and Zhang, P., 1994, An airborne tensor VLF system. From concept to realization: *Geophysical Prospecting* **42**, 863-883.
- Pedersen, L. B. and Oskooi, B., 2004, Airborne VLF measurements and variations of ground conductivity: a tutorial. *Surveys in Geophysics* **25**, 151-181.
- Sharma, S. P. and Kaikkonen, P., 1998, Two-dimensional non-linear inversion of VLF-R data using simulated annealing. *Geophys. J. Int.*, **133**, 649-668.
- Siripunvaraporn, W. and Egbert, G., 2000, An efficient data- subspace inversion method for two- dimensional magnetotelluric data. *Geophysics*, **65**, 791-803.
- Tabbagh, A., Bendritter, Y., Andrieux, P., Decriaud, J. P. and Guerin, R., 1991, VLF resistivity mapping and verticalization of the electric field. *Geophys. Prosp.*, **39**, 1083-1097.